



光合成誘導反応

唐, 艷鴻

富松, 元

深山, 浩

(Citation)

化学と生物, 52(2):106-112

(Issue Date)

2014

(Resource Type)

journal article

(Version)

Accepted Manuscript

(Rights)

©公益社団法人 日本農芸化学会

(URL)

<https://hdl.handle.net/20.500.14094/90002853>



1 植物の高 CO₂ 応答－10 光合成誘導反応

2
3 唐 艷鴻¹⁾、富松 元¹⁾、深山 浩²⁾

4 ¹⁾ 国立環境研究所・生物生態系環境研究センター

5 ²⁾ 神戸大学農学研究科

6
7 はじめに
8

9
10 自然環境下では植物の光環境は時間的に大きく変化する。四季の変化もあれば
11 朝晩の変化もある。また、時々の雲量や葉の動きによって瞬時に大きく変化し、
12 数秒の内に光強度が何百倍も変わる。晴れた天候では、太陽の直達光は植物葉群
13 の隙間を通して地面や林床に到達し、周囲からふりそそぐ背景光（散乱光）より
14 かなり明るい。このような強い光の斑点を「サンフレック」（sunfleck）または「陽
15 斑」と呼ぶ（図1）。

16 図1に示したグラフは、マレーシア熱帯林林床において2秒間隔で測定した光
17 強度の時間変化である。測定した場所は、倒木によって形成された大きなギャップ
18 （隙間）であるため、多数のサンフレックが観測されている。特に現地時間の
19 昼12時過ぎからサンフレックが多くなり、14時半から約30分以上も持続した
20 長いサンフレックも観測された。

21 森林や密な草原の地表面では、多くの時間において、直達光が到達できず、散
22 乱光の強度が低く、植物の光合成に利用できる光エネルギーが不足する。このよ
23 うな環境下では、葉が利用する光エネルギーの大部分は、サンフレックの形とな
24 っている。従って、サンフレックを効率的に利用することがこれらの環境下での
25 葉の光合成や植物の生長において、大変重要である。このことは古くから指摘さ
26 れていたが、詳細な研究が行われたのは20年前からである。

27 サンフレックは一見複雑な変化と見えるが、光強度で言えば、上昇と低下の二
28 つのパターンしかない。しかし、光強度の上昇と低下に対する光合成の応答は単
29 純ではない。一般的に、暗黒または弱光環境下では、葉の気孔が閉じ気味である。
30 このとき、光合成関連タンパク質（酵素）も不活性化されているか、活性化の程

31 度が低い。そのような状態から突然の強光が照射されると、気孔開度が大きくな
32 り、光合成酵素も活性化される。これらの一連の応答に伴って光合成速度は徐々
33 に高くなり、ある程度の時間が経過してから安定した定常状態の光合成速度に達
34 する。この間の光合成速度の変化を光合成誘導 (induction) 反応という。この誘
35 導過程は、例えでいえば、アクセルを踏んでから車が目的速度に達するまでの加
36 速過程に似ている。

37 一方、光強度が下がる場合、光合成速度は素早く低下する。光強度が下がる前
38 に蓄積されていた中間代謝産物を使って少し炭素固定ができるため、光強度の低
39 下に比べ光合成速度の低下は若干遅れる。しかしほんどの場合、数秒以内で弱
40 光下での光合成速度に到達するため、物質生産に大きな影響はないとの見方もある。
41 ただし、多数の短時間のサンフレックがある場合では、それが無視できなくなるとの意見もある。

43 本稿では、光強度の上昇に対する応答である光合成誘導反応に注目し、とくに
44 誘導反応と高 CO₂ 環境の関連について、これまでの研究をレビューする。

45

46 光合成誘導反応

47

48 図 2 は光合成誘導反応の一例として、木本の光合成モデル植物でもあるポプラ
49 の葉を弱光条件下 ($20 \mu\text{mol m}^{-2} \text{s}^{-1}$) に約 1 時間以上おいてから、光強度を $800 \mu\text{mol m}^{-2} \text{s}^{-1}$ まで上昇させた後の光合成速度の時間変化を示している。このケース
50 では、光強度が上がってから 2、3 分の間に、光合成速度が急激に上昇した。こ
51 の上昇は、最大光合成速度 (強光で測定したときの光合成速度) の 4 分の 1 程度
52 のところで終わり、その後の光合成速度の上昇は緩やかになった。そして、強光
53 照射後 50 分以上を費やして最大光合成速度に達した。このような光合成速度の
54 変化過程は、植物の種類や葉の寿命、そして生育環境の光や温度条件などによっ
55 て変わる。

57 これまでの研究により、光合成誘導反応のタイムコースは、二つの基本タイプ
58 に分けることができる (図 3)。図 3 の A、B のような場合、光強度が増加してか
59 ら光合成速度は素早く上昇し、その後に緩やかに増加する段階を経て、強光下で
60 の最大光合成に達する。このようなタイムコースは指數関数の形に近い。もう一

61 つのタイプは、図3のCのように、光合成速度が最初は緩やかに上昇し、しばらくして速くなり、再び緩やかに増加して最終の最大光合成速度に到達する。誘導
62 反応のタイムコースは、多くの場合、上記の2タイプの中間となる。

63 光強度の上昇後、光合成誘導反応がどのようなタイムコースを辿るかは、誘導
64 反応直前の葉の「誘導反応準備状態」によって大きく変化する^(1,2)。誘導反応準備
65 状態は、気孔の開放程度と光合成酵素系の活性化程度に依存する。葉の誘導準備
66 状態が高い場合、気孔開度が比較的大きく光合成関連酵素の活性も高く、光強度
67 の上昇に対する光合成速度の応答が速くなる。このような葉のタイムコースが図
68 3のAとBのようになる。これまでの研究では、葉の誘導準備状態は、長時間の
69 弱光、または断続的短時間の強光を受けた場合に高くなることが報告されている
70 ^(1,3)。また、あまり強光にさらされていない葉でも気孔開度が常に高い植物の光合
71 成誘導反応もこのようなタイムコースを辿る^(4,5)。一方、誘導準備状態が非常に低
72 い場合は、光強度が上昇してからの光合成速度の変化は図3のCのようなタイム
73 コースとなる。非常に暗いところに順応した場合や気孔が完全に閉じた状態から
74 の誘導反応は、このようなパターンの変化を示す⁽²⁾。

75 図3のBとCコースは、最大光合成速度に達するまでに要する誘導時間は同じ
76 だが、誘導準備状態が異なるために光合成速度の変化パターンに違いが生じる例
77 である。最大光合成速度に達するまでに辿るコースが違うと、光合成誘導反応過
78 程における炭素獲得総量は大きく異なる。また、AとBのタイムコースは一見似
79 ているが、AはBよりも誘導準備状態が高く、Aの誘導時間はBよりもずっと短く
80 なる。

81
82

83 光合成誘導反応の3つのプロセス

84

85 光合成誘導反応がどのようなタイムコースを辿るかは、光合成に関わる3つの
86 プロセス、リブロース-1,5-ビスリン酸 (RuBP) 再生に関わる酵素系の活性化、
87 リブロース 1,5-ビスリン酸カルボキシラーゼ/オキシゲナーゼ (Rubisco) の活性
88 化、そして気孔開度によって決まる^(3,6)。それぞれのプロセスの変化に必要な時間
89 や光合成速度に対する律速の程度が変わると、光合成誘導反応のタイムコースも
90 変わる。

91 **RuBP 再生関連酵素の活性化：** RuBP は 5 つの炭素原子を持つ糖リン酸である。多くの植物の光合成では、この RuBP の CO₂ の受容体となっており、CO₂ と反応して 3 つの炭素原子を持つ 3-ホスホグリセリン酸を 2 分子生成する。この反応が CO₂ 固定の初発反応である植物は、C3 植物と呼ばれている。一方、トウモロコシなどの植物は、CO₂ 固定の初期産物が 4 つの炭素原子を含むオキサロ酢酸であるため、C4 植物と呼ばれている。C3 植物では、RuBP は光合成速度を律速する要因の一つであり、RuBP の量は電子伝達速度やカルビン回路の RuBP 再生関連酵素の活性や反応中間産物の量に依存する。RuBP を生成するのに必要なこれらのファクターは RuBP 再生系と呼ばれている。光強度が増加する前の条件（光強度、照射時間とパターン、温度、CO₂ 濃度）によって RuBP 再生系の活性化状態が異なり、RuBP の蓄積量も異なる。RuBP と光合成の生化学の詳細は本特集の牧野周「高 CO₂ と光合成の生化学」を参照されたい。RuBP の量が多い場合、光強度の増加に対して光合成速度がすぐに上昇するが、少ない場合はその上昇が遅くなる。RuBP 量の変化は、光強度に依存する RuBP 再生系の活性化に依存する。葉が置かれた状況にもよるが、一般的に、弱光から強光に移した際の RuBP 再生系の活性化には 1-2 分間程度を必要とする^⑥。このフェイズにおいて、光合成速度がどこまで増加できるかは、RuBP の量と Rubisco の活性化状態に依存し、それらが大きい場合、誘導反応過程における初期の光合成速度の上昇幅も大きくなる。

110 **Rubisco の活性化：** RuBP と CO₂ の結合は Rubisco によって触媒される。 Rubisco の活性はさまざまな要因によって調節されるが、光強度がその重要な調節要因である。通常、光強度が上昇してから Rubisco が活性化されるまでに 5 分から 10 分程度必要である。Rubisco の活性化反応は光合成酵素反応の中で最も遅い反応とも言われている。また、Rubisco は RuBP と酸素を反応させ、CO₂ を生成するオキシゲナーゼ反応も触媒する。これは光呼吸の初発反応である。光呼吸では、エネルギーを使って有機物を CO₂ として放出してしまうプロセスである。この過程は、光合成の逆戻りとも言えるものであり、植物にとって「好ましくない」ようだが、光強度が増加（とくに葉にとって強すぎる光強度）した際に、余った還元力による活性酸素の生成を抑える「好ましい」働きもあり、光合成誘導反応をスムーズに進行させる可能性がある。

121 気孔の開放：光強度が上昇すると気孔開度も増加するが、その過程は RuBP の
122 再生系や Rubisco などの光合成の活性化に比べ時間要する場合が多い。植物に
123 もよるが、通常は気孔が十分開くのに 10 分から 30 分以上が必要とされる。気孔
124 は大気中の CO₂ を葉内に取り込む「玄関」であり、この玄関の大きさは CO₂ 吸
125 収速度を制限するので、光合成誘導反応速度には大きな影響を及ぼす。図 3 の C
126 のような、タイムコースの後半でも光合成速度が低く光合成誘導反応が遅いケー
127 スは、気孔開度が律速要因となっていることが多い。しかし、自然環境下で気孔
128 の開閉がどれだけ光合成誘導反応を制限しているかについては、定量的に詳細に
129 評価した研究例がなく、不明な点が多い。

130

131 高 CO₂ 環境での光合成誘導反応の応答

132

133 大気中 CO₂ 濃度の上昇に対する陸上植物の光合成応答の研究は、これまでほと
134 んどの場合、定常状態、すなわち安定した光強度のもとで得られた光合成速度と
135 光強度の関係について行われてきた。また、将来の高 CO₂ 環境下における光合成
136 の予測もこれらの定常状態下の結果に基づいて行われている。しかし、前述した
137 ように、自然環境下では、陸上植物の光環境は時間的変動が大きい。定常状態の
138 データを利用した炭素獲得量の推定結果は、光強度が変動する自然環境下での炭
139 素獲得量に比べ、かなり過大評価されている傾向がある^⑦。とくに、変動する光
140 強度に対する光合成は、高 CO₂ 応答に関するデータが非常に不足している。将来
141 の高 CO₂ 環境における光合成量を的確に予測するため、現在の CO₂ 条件だけでは
142 なく、高 CO₂ 条件下での光合成誘導反応も把握する必要がある。

143 高 CO₂ に対する光合成誘導反応の応答を把握するためには、高 CO₂ 環境を含
144 め異なる CO₂ 環境下で植物を生育させ、光合成誘導反応特性の変化を調べる必要
145 がある。ここでは、とりわけ、前述した光合成誘導反応の 3 つのプロセスに絞つ
146 て、高 CO₂ に対してどのような応答が認められるのかについて、これまでの研究
147 をまとめてみる。

148 RuBP：一般的に弱光下では光合成速度は RuBP の不足によって律速される。
149 光合成誘導反応においても RuBP 供給の不足も重要な律速要因となる^⑧。RuBP
150 量と RuBP 再生系の活性化速度が誘導反応初期の光合成速度の増加に大きな影

151 響を及ぼすことは容易に想像できる。まず、高 CO₂ では、CO₂ 固定が活発になる
152 ことにより、RuBP 再生系を含めたカルビンサイクル全体の反応が促進される。
153 その結果、RuBP の不足はある程度の解消が期待される。その解消によって光合
154 成誘導準備状態が高くなり、初期の誘導反応が加速されやすくなることが予想さ
155 れる。次に、強光条件下では、光合成速度の律速は主に Rubisco にシフトするが、
156 高 CO₂ 条件では、Rubisco の律速性が弱まるために、RuBP に対する需要が高く
157 なり、RuBP 再生が追いつかないことが多い⁽⁹⁾。これは、変動しない光強度での
158 観測結果ではあるが、高 CO₂ における変動する光強度の条件下での光合成誘導反
159 応過程においても起こる可能性がある。

160 誘導反応における RuBP 律速を判断する目安の一つは、光強度が上昇してから
161 1,2 分以内に光合成速度の変化である。著者らの実験観測では、CO₂ 濃度が高い
162 ほど、初期光合成速度の向上が大きく、RuBP 律速が低下したことが示唆された
163 ⁽⁵⁾。しかし、高 CO₂ における誘導反応前の誘導準備状態、誘導反応過程における
164 RuBP の量、および RuBP 再生系の活性化速度の変化については、不明なことが
165 まだ多い。とくに生化学的な知見が不足している。RuBP 律速が誘導反応初期の
166 短い時間内で起こるため、生化学的な測定が技術的に困難であるが、今後明らか
167 にしていく必要がある。

168 高 CO₂ での光合成誘導反応における RuBP 量の時間的変化の情報不足とは対
169 照的に、Rubisco 活性化と気孔開度に関する研究は比較的多く見られる。

170 **Rubisco** : 高 CO₂ による植物の光合成へのもっとも重要な影響として、Rubisco
171 のカルボキシル化反応 (CO₂ 固定) の向上と同酵素によるオキシゲナーゼ反応の
172 抑制が考えられる⁽¹⁰⁾。また、一般的に、高 CO₂ 条件に順化した植物では葉の
173 Rubisco 含有量が低下することも重要である。強光条件下すべての Rubisco の
174 活性化に必要な時間が短いほど、最大光合成速度に達するまでの時間が短くなり、
175 誘導反応速度は速くなると考えられる。Rubisco の活性化速度が高 CO₂ 条件
176 下で変わらなければ、Rubisco 含有量が少ないほど、光合成誘導反応が速くなる
177 はずである。

178 この仮説を検証するため、ヨーロッパブナ (*Fagus sylvatica* L) とオウシュウ
179 トウヒ (*Picea abies*) を使った高 CO₂ 実験の結果が報告されている⁽¹¹⁾。高 CO₂
180 条件下では光合成誘導反応速度が高くなり、Rubisco の活性化速度はやや低下し

181 た。しかし、大気 CO₂ 条件と比べ、高 CO₂ 条件下における Rubisco 含有量は上
182 記のそれぞれの種で約 30% と 50% も低下した。Rubisco 含有量の低下によって、
183 活性化速度がやや低下したにもかかわらず、すべての Rubisco が活性化に要する
184 時間が短くなり、結果的に、光合成誘導反応速度の促進につながったものと考え
185 られる。

186 一方、高 CO₂ 条件下では、Rubisco が触媒するオキシゲナーゼ反応の速度が低
187 下することによって、光呼吸による CO₂ の放出が低下する⁽¹⁰⁾。その結果、見かけ
188 の光合成速度が高くなる。高 CO₂ 条件下では、見かけ上の光合成速度の上昇によ
189 って、誘導反応速度も上昇することが予想される。また、光呼吸の低下は RuBP
190 再生速度に影響を及ぼす可能性があり、それによって誘導反応速度が変化するこ
191 とも予想される。上記のいずれの点についても、今後の課題である。

192 **気孔**：光合成誘導反応に伴う気孔開度の増加速度は、CO₂ 濃度、水分条件、光
193 強度によって変化する。一般的に、光強度が一定の条件下では、CO₂ 濃度が高く
194 なると気孔コンダクタンス（気孔開度の指標）は低下する。このことから、仮に
195 CO₂ 濃度の変化によって気孔開放速度の変化がなければ、最大気孔コンダクタン
196 スに到達する時間が短くなり、誘導反応速度が早くなることも予想される。

197 ヨーロッパブナ (*F. sylvatica* L) とオウシュウトウヒ (*P. abies*) を用いた実
198 験では、高 CO₂ 条件下での最大気孔コンダクタンスの低下は誘導反応速度の向上
199 に貢献していると考えられた⁽¹¹⁾。一方、高 CO₂ 条件下で誘導過程における気孔開
200 度の増加速度が変わる可能性もある。C4 植物（ビッグブルーステム *Andropogon*
201 *gerardi*）を使った実験では、高 CO₂ 条件下で気孔応答が速くなり、変動光強度
202 条件下で水分利用効率を向上させることができた⁽¹²⁾。しかし、稚樹（耐
203 隠性の高い *Acer rubrum*, *Cornus florida* と耐陰性の低い *Liquidambar*
204 *styraciflua*, *Liriodendron tulipifera*）を用いた開放系大気 CO₂ 増加実験では、高
205 CO₂ が気孔コンダクタンス変化や光合成誘導反応の炭素獲得量への明確な影響は
206 認められなかった⁽¹³⁾。ただし、この研究では、高 CO₂ 条件は光合成誘導状態を高
207 め、サンフレック後の光合成損失を低減し、変動光強度下での光合成量を相対的
208 に向上させる可能性も指摘されている。

209 **高 CO₂ と誘導反応タイムコース**：以上のように、便宜上、高 CO₂ に対する光
210 合成誘導反応を 3 つの主なプロセスの応答に分けて議論した。実際には、それぞ

211 れのプロセスは光合成誘導反応過程に複雑に関係して影響を与えている。光合成
212 誘導反応が物質生産に及ぼす効果を推定するためには、高 CO₂ 条件下での誘導反
213 応のタイムコースを考える必要がある。

214 高 CO₂ では最大光合成速度に到達するのに要する誘導反応時間に変化が無く
215 ても、誘導反応過程に迫るタイムコース、誘導反応加速のタイミングは変わること
216 がありうる。Leakey らは、このような可能性を指摘している⁽¹⁴⁾。彼らは、二
217 つの CO₂濃度条件下で、光エネルギーの総量が同じだが光強度の時間変化がある
218 条件とない条件の 2 種類の光環境（計 4 条件）で熱帶稚樹を栽培した。通常の
219 CO₂条件と比べ高 CO₂ 条件では、最大光合成速度の 50%に達するまでの時間が
220 長くなったが、90%までに要する時間は短くなった。すなわち、この結果は高
221 CO₂により、光合成誘導反応のタイムコースが変わったことを意味している。そ
222 の結果、いずれの光条件下でも高 CO₂による光合成量の増加が認められたが、光
223 強度の変化がある条件下では高 CO₂による光合成量の向上が相対的に大きかつ
224 た⁽¹⁴⁾。このことから、定常状態のモデルと変動光強度を考慮したモデルの推定結
225 果の違いは、高 CO₂環境ではさらに大きくなる可能性も考えられる。

226

227 ポプラから見た高 CO₂への光合成誘導反応応答

228

229 **高 CO₂による光合成誘導反応速度の向上**：高 CO₂への光合成誘導反応の応答
230 は、誘導反応の 3 つのプロセスがすべて関与しているが、それぞれのプロセスの
231 応答を分けて検討した例が少ない。そこで、著者らは高 CO₂に対する光合成誘導
232 反応を気孔の応答と生化学的な応答に分けて評価した。

233 著者らが着目したのは 2 種のポプラ、*Populus euramericana*, cv. I-55 と *P.*
234 *koreana* × *trichocarpa*, cv. Peace であった。以下、それぞれを I-55 とピースと呼
235 ぶことにする。I-55 は普通のポプラで、その気孔は光強度の変化に応じて応答で
236 きる。しかし、もう一種のピースは特殊な交雑種で、気孔が開いたままで、光強
237 度の変化に対してほとんど応答しない。従って、ピースでは、誘導反応の制限要
238 因は主に RuBP の再生もしくは Rubisco の活性化となる。それぞれの種について、
239 誘導反応のタイムコースを解析すれば、高 CO₂による気孔開口の役割についてあ
240 る程度で議論できる。

241 この 2 種のポプラを現在の大気 CO₂ 条件 (380 $\mu\text{mol CO}_2 \text{ mol}^{-1} \text{ air}$)、そして
242 700 $\mu\text{mol CO}_2 \text{ mol}^{-1} \text{ air}$ と 1020 $\mu\text{mol CO}_2 \text{ mol}^{-1} \text{ air}$ の高 CO₂ 条件下で栽培し、栽
243 培 CO₂ 濃度条件下で光強度を 20 $\mu\text{mol m}^{-2} \text{ s}^{-1}$ から 800 $\mu\text{mol m}^{-2} \text{ s}^{-1}$ まで上げ、光
244 合成誘導反応を測定した。

245 その結果、いずれの種においても、高 CO₂ 環境下では光合成誘導反応が速くな
246 ることが明らかとなった⁽¹⁵⁾。それぞれのタイムコースを検討した結果、通常の気
247 孔応答ができる I-55 では、高 CO₂ による光合成誘導反応の向上は非常に明瞭で
248 大きかった (図 4)。しかし、気孔がほぼ開いたままのピースでは、光強度が上が
249 ってから光合成速度はいずれの CO₂ 環境下でもすぐに (5 分間程度以内) 強光下
250 での最大光合成速度に達した。高 CO₂ による光合成誘導反応の向上は少なかった。

251 **高 CO₂ の基質効果と順化効果** : 植物を異なる CO₂ 条件下で栽培し、生育 CO₂
252 濃度下で光合成を測定する。高 CO₂ 下栽培した植物が高 CO₂ 濃度下で測定した
253 光合成誘導反応が速くなることがわかった。しかし、この反応速度の向上は、測
254 定時の高 CO₂ による貢献か、それとも長期間の高 CO₂ 条件下で栽培したため、
255 葉の構造や生理生化学的特性が変わったことの影響か、または両者とも同時に貢
256 献しているだろうかということは、これまでの研究では詳しく評価されていない。

257 CO₂ は植物光合成の原材料、すなわち、光合成反応の基質である。通常の化学
258 反応と同じ、基質が多いと反応速度が高くなる。これは光合成における CO₂ の基
259 質効果であるといえる。一方、多くの場合、同じ高 CO₂ で測定した光合成速度は、
260 高 CO₂ 条件下で生育した植物の方が、低 CO₂ の植物より低くなる。このことは、
261 高 CO₂ 条件下で生育した植物は、光合成特性に変化が生じて、高 CO₂ に対する
262 順化があったと考えられる。順化反応を評価することは、将来の高 CO₂ への応答
263 を的確に予測するために必要である。

264 一方、光合成誘導反応に高 CO₂ への順化が関係しているかはこれまであまり解
265 析されていない。著者らは、異なる CO₂ 環境下で生育した上記のポプラ I-55 を
266 高 CO₂ 条件下で光合成誘導反応を測定し、高 CO₂ 環境に対して光合成誘導反応
267 の順化を検討した。その結果、強光条件下での最大光合成の 50% に達する誘導反
268 応時間において、80% の短縮は基質効果ではなく順化反応によるものであると示
269 唆されている (未発表データ)。

270

271 高 CO₂への光合成誘導反応の応答と環境要因

272

273 光合成誘導反応は、光、温度、水分などの環境によって変化する。例えば、光
274 環境の変化によって、光合成誘導反応の速さやそのタイムコースが大きく変化す
275 る。多くの場合、暗い環境で生育した植物は明るい環境に生育する植物に比べて
276 光合成誘導反応が速いことが報告されている^(3, 16, 17)。また、光の波長が気孔の開
277 閉や光合成速度に影響を及ぼすことがわかっており、光合成誘導反応にも影響が
278 あるはずである。例えば、青色光の多い場合、誘導反応が速くなることが分かつ
279 ている⁽¹⁸⁾。高 CO₂条件と光環境が光合成誘導反応に及ぼす複合的な効果について
280 は、ほとんど分かっていない。

281 誘導反応に対する温度の影響についてはいくつか研究がある。自然条件下では、
282 サンフレックの光強度の上昇に伴い葉温が急速に高くなる。著者らの赤外線カメ
283 ラ観測では、熱帯林の林床植物はサンフレックが当ってから 2、3 分間のうちに
284 葉温が 8°C も変わることがある。サンフレックに伴う葉温の上昇は光合成を低下
285 させることが報告されている。例えば、セイヨウブナ (*Fagus sylvatica* L.) では、
286 最大光合成速度 50%に必要な時間は、葉温 25°C の条件と比べ 15°C と 35°C 条件下
287 では著しく長くなる⁽¹⁹⁾。しかし、キク (*Chrysanthemum morifolium*) において
288 20-35°C の温度条件下で光合成誘導反応を比較した結果では、誘導時間にはあま
289 り差がなかった⁽²⁰⁾。高 CO₂環境下では、気孔開度が低下するので、光強度の増加
290 に伴う葉温の上昇も速くなる可能性がある。また、葉温の上昇によって光条件下
291 での暗呼吸速度が高くなり、光合成誘導反応速度の見かけ上の低下が起こるかも
292 しれない。

293 葉の水分状況は気孔の開閉に大きな影響を及ぼすので、誘導反応にも影響する
294 はずである。しかし、これまでの限られた情報によると、葉の水分状況はシダ植
295 物や熱帯植物（コショウ属）の光合成誘導反応にあまり影響を与えなかったよう
296 である^(15, 21)。高 CO₂環境下では、気孔コンダクタンスの低下によって蒸散が減少
297 し、葉に水ストレスがかかりにくくなることが光合成誘導反応に影響を及ぼす可
298 能性も考えられる。

299

300 おわりに

301
302 植物の CO₂ 応答とその結果は、現在の地球環境を形成してきたし、未来の地球
303 環境の変化にも引き続き大きな影響を与える。未来の地球環境の変化を的確に予
304 測するためには、植物の高 CO₂ 応答をさらに詳細に明らかにしていく必要がある。
305 陸上植物は常に変動する環境下で光合成を行う。しかし、これまでに行われた予
306 測研究のほとんどは、定常状態下で得た光合成データに基づいたものである。将
307 来の高 CO₂ 環境における予測の不確実性を減らすため、本文で議論した変動する
308 光環境だけではなく、温度、水分、CO₂ 濃度などの環境要因の時間変動に対する
309 光合成の応答についてもさらに深く理解する必要がある。
310
311
312 謝辞
313 東北大学の彦坂幸毅先生から多くの貴重なコメントを頂いた。
314 本研究は文部省科学研究費新領域研究「植物の高 CO₂ 応答」の補助を受けた。
315

316 参考文献

317

- 318 1) R.L. Chazdon & R.W. Pearcy: *Oecologia*. 69. 517-523.(1986).
- 319 2) C. Tinocoojanguren & R.W. Pearcy: *Oecologia*. 943. 395-402.(1993).
- 320 3) R.W. Pearcy: *Annu Rev Plant Phys.* 41. 421-453.(1990).
- 321 4) Y. Tang & N. Liang: *Tree Physiol.* 2014. 969-976.(2000).
- 322 5) H. Tomimatsu & Y. Tang: *Oecologia*. 1694. 869-878.(2012).
- 323 6) R.W. Pearcy: *Functional Plant Ecology*, eds Valladares F & Pugnaire FI (CRC Press,
324 London New York), Second Edition Ed.(2007)
- 325 7) J. Stegemann, H.C. Timm & M. Kuppers: *Trees-Struct Funct.* 143. 145-160.(1999).
- 326 8) J.R. Seemann, M.U. Kirschbaum, T.D. Sharkey & R.W. Pearcy: *Plant Physiol.* 88.
327 148-152.(1988).
- 328 9) E.A. Ainsworth & A. Rogers: *Plant Cell Environ.* 303. 258-270.(2007).
- 329 10) A.D.B. Leakey, et al.: *Photosynthesis: Plastid Biology, Energy Conversion and*
330 *Carbon Assimilation, Advances in Photosynthesis and Respiration*, eds Eaton-Rye JJ,
331 Tripathy BC, & Sharkey TD (Springer Science+Business Media B.V.), Vol 34, pp
332 733-768.(2012)
- 333 11) M. Košvancová, et al.: *Plant Sci.* 1772. 123-130.(2009).
- 334
- 335 12) A.K. Knapp, J.T. Fahnstock & C.E. Owensby: *Plant Cell Environ.* 172.
336 189-195.(1994).
- 337 13) E. Naumburg & D.S. Ellsworth: *Oecologia*. 1222. 163-174.(2000).
- 338 14) A.D.B. Leakey, M.C. Press, J.D. Scholes & J.R. Watling: *Plant Cell Environ.* 2512.
339 1701-1714.(2002).
- 340 15) B.S. Gildner & D.W. Larson: *Oecologia*. 893. 390-396.(1992).
- 341 16) R.L. Chazdon: *Adv Ecol Res.* 18. 1-63.(1988).
- 342 17) D.A. Way & R.W. Pearcy: *Tree Physiol.* 329. 1066-1081.(2012).
- 343 18) M. Kosvancova-Zitova, et al.: *Photosynthetica*. 473. 388-398.(2009).
- 344 19) M. Kuppers & H. Schneider: *Trees-Struct Funct.* 73. 160-168.(1993).
- 345 20) I. Ozturk, C.-O. Ottosen & C. Ritz: *Acta Physiol Plant.* (2012).

346 21) C. Tinocoojanguren & R.W. Pearcy: *Oecologia*. 943. 388-394.(1993).

347

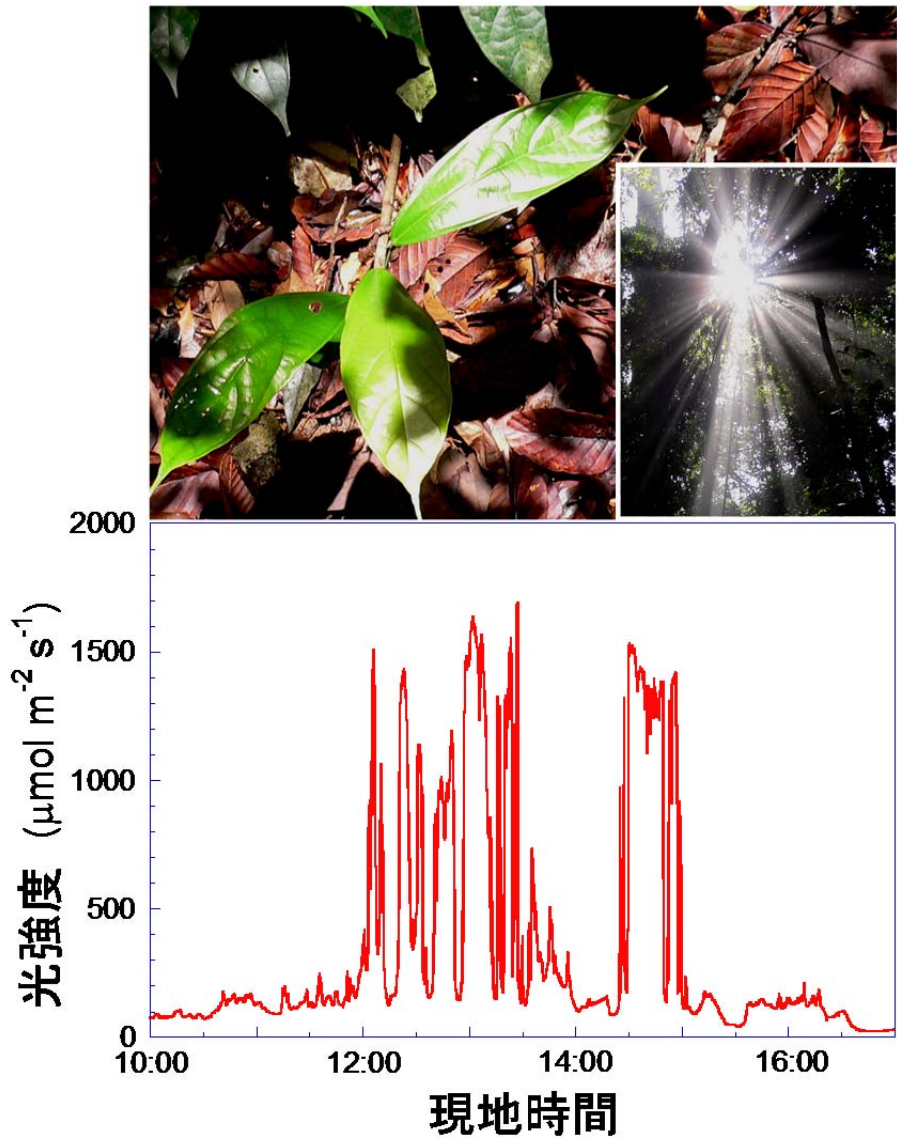
348

349

350

351

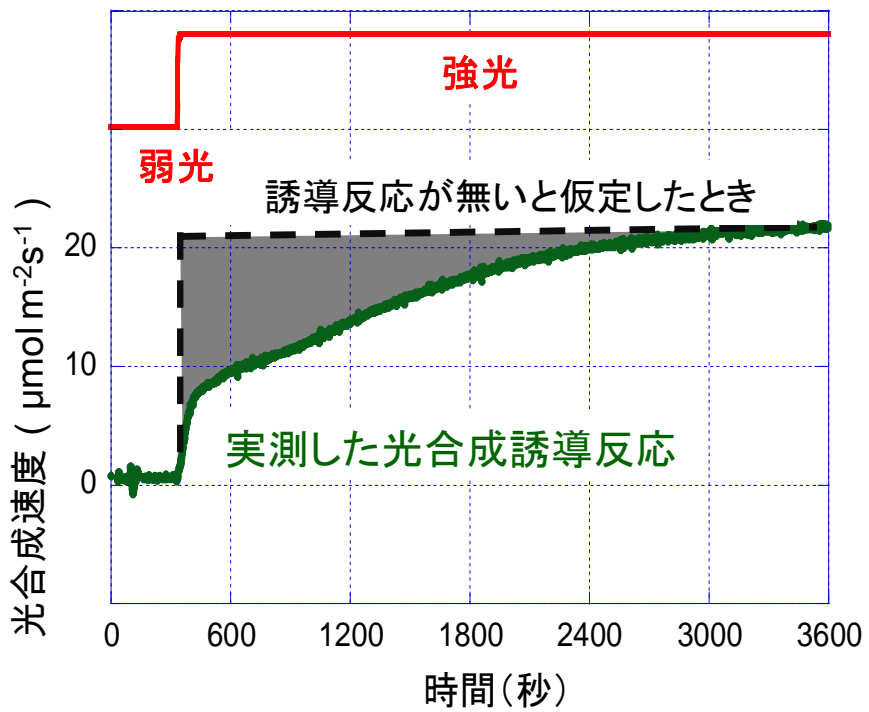
352



353

354 図1 上:マレーシア熱帯林林内の地表面と林床植物に当たるサンフレック、及び
355 林冠を通過する太陽の直達光 (写真: 富松)。下: 同熱帯林林内の光強度の時間変
356 化。地上約 50cm の位置に光センサーを水平に設置し、約 2 秒間隔で光強度を記
357 録した。1 $\mu\text{mol m}^{-2} \text{s}^{-1}$ は 1 m^2 あたり毎秒 1 モル光量子を意味する。普通の事務
358 室における照明は 10-30 $\mu\text{mol m}^{-2} \text{s}^{-1}$ 程度の光強度となる。

359



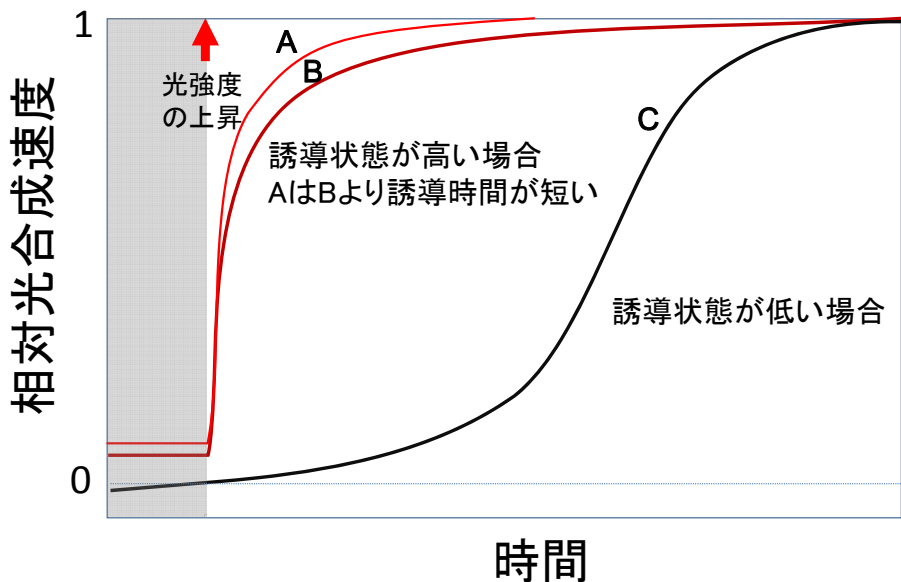
360

361 図 2: 光合成誘導反応の模式図: 光強度を弱光 ($20 \mu\text{mol m}^{-2}\text{s}^{-1}$) から強光 (800
 362 $\mu\text{mol m}^{-2}\text{s}^{-1}$) に変化させた場合のポプラ (*Populus euramericana*, cv. I-55) の
 363 光合成速度の変化過程を示している。光強度と実線の光合成速度はいずれも実測
 364 データであり、破線は光合成速度が光強度の変化に対して、誘導反応がなく即応
 365 答する場合と仮想した光合成変化である。灰色の部分の面積は、誘導反応がない
 366 と仮定した場合に比べ、実測した光合成誘導反応によって「損失」した積算光合
 367 成量を表す。

368

369

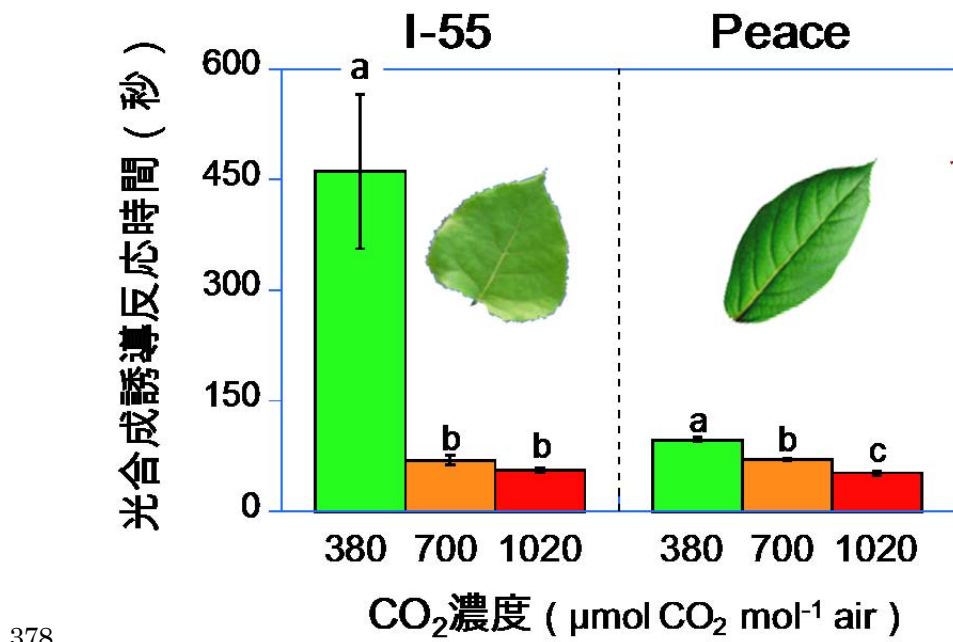
370



371

372 図 3. 強光照射前の異なる誘導状態と光合成誘導反応過程の模式図：A と B は、
 373 光強度が上昇する以前から誘導状態が高い場合（例えば、長時間の弱光または断
 374 続的な強光）の光合成誘導反応過程、C は誘導状態が低い場合（例えば強光を照
 375 射前に葉が暗黒条件または短期間の弱光条件）の光合成誘導反応過程を示す。ま
 376 た、葉の誘導状態は誘導反応の進行に伴い高くなる。

377



378

379 図4. 最大光合成速度の50%に達するまでに要する光合成誘導反応時間:光強度
 380 を弱光 ($20 \mu\text{mol m}^{-2} \text{s}^{-1}$) から強光 ($800 \mu\text{mol m}^{-2} \text{s}^{-1}$) に変化させて誘導反応を
 381 解析した結果。右図: *Populus euramericana* (I-55)、左図: *P. koreana* ×
 382 *trichocarpa* (Peace) を示す。異なる英字は生育 CO₂濃度の間で誘導反応時間に
 383 統計的な有意差があることを示す。

384